

Física Numérica

Tarea #6

D. A. Vázquez Gutiérrez

Escuela Superior de Física y Matemáticas, Instituto Politécnico Nacional, Unidad Profesional "Adolfo López Mateos", Zacatenco, Edificio 9, Col. San Pedro Zacatenco, C.P. 07730 del. Gustavo A. Madero, Ciudad de México, México

email: dvazquezg1600@alumno.ipn.mx

19 de junio de 2024

1. Identificar partículas.

El objetivo de este ejercicio es estimar la masa de una partícula que decae en dos muones. Lo datos son reales tomados del CMS (*Compact Muon Solenoid*) que han sido adquiridos, analizados, filtrados e identificados como colisiones en el LHC (*Large Hadron Collider*) y que presentan un par muón-antimuón, conocidos usualmente como dimuones, seleccionados para obtener eventos que son candidatos para observar partículas J/ψ , Y , W y Z . En el archivo adjunto *Jpsimumu_Run2011A.csv* se presentan los datos de poco más de 31 000 colisiones. Las columnas en la tabla corresponden a:

- *Run*: Los datos recogidos por el CMS en un año dado dividido en conjuntos llamados 'corridos' (*Runs*). Por ejemplo, los datos de 2011 se dividieron en *RunA* y *RunB*. *Run* es una colección de datos de un periodo con una duración variable.
- *Event*: Es una colisión protón- protón.
- *Type1*: G = dimuón global, T = dimuón trazador (observado sólo en el rastreador)
- *E1*: Energía del dimuón 1.

- *px1*: Momento en la dirección del eje x del dimuón número 1.
- *py1*: Momento en la dirección del eje y del dimuón número 1.
- *pz1*: Momento en la dirección del eje z del dimuón número 1.
- *pt1*: Momento transversal muón número 1.
- *eta1*: En física experimental de partículas, la pseudorapidez η se utiliza comúnmente como coordenada espacial describiendo el ángulo de una partícula relativa al eje del haz definida por:

$$\eta = -\ln \left[\tan \left(\frac{\theta}{2} \right) \right] \quad (1)$$

con θ el ángulo entre el momento p de la partícula y la dirección positiva del eje del haz.

- *phi1*: Es el ángulo azimutal ϕ , medido desde el eje x positivo en el plano xy .
- *Q1*: Carga del muón número 1.
- *Type2*: G = dimuón global, T = dimuón trazador (observado sólo en el rastreador).
- *E2*: Energía del dimuón número 2.

- $px2$: Momento en la dirección del eje x del dimuón número 2.
- $py2$: Momento en la dirección del eje y del dimuón número 2.
- $pz2$: Momento en la dirección del eje z del dimuón número 2.
- $pt2$: Momento transversal del muón número 2.
- $eta2$: La pseudorapidez $\eta2$ del muón número 2.
- $phi2$: Es el ángulo azimutal, medido desde el eje x positivo en el plano xy , del muón número 2.
- $Q2$: Carga del dimuón número 2

1.1. Masa de partículas

Para cada colisión, calcule la masa de la partícula que decae (que podrían ser partículas $J/\phi, Y, W$ y Z), utilizando sus conocimientos de Dinámica relativista. Considere unidades con $c = 1$ para simplificar los cálculos.

Entonces, consideramos que para una sola partícula, el cuadrivector energía-momento (E, \vec{p}) , se define como:

$$P = (E, \vec{p}) \quad (2)$$

Cuando colocamos este vector en el espacio de Minkowski, con la pseudo norma:

$$m^2 = E^2 - |\vec{p}|^2 \quad (3)$$

Entonces, cual, en este caso, el segundo sistema consiste en dos partículas, entonces, cada uno de ellos tiene un vector P_1 y P_2 . Donde entonces el cuadrivector total es:

$$\begin{aligned} P_{total} &= P_1 + P_2 = (E_1 + E_2, \vec{p}_1 + \vec{p}_2) \\ &= (E_{total}, p_{total}) \end{aligned} \quad (4)$$

Donde entonces, empleando las ecuaciones (3) y (4), entonces:

$$m_{invariante} = \sqrt{E_{total}^2 - |\vec{p}_{total}|^2} \quad (5)$$

1.2. Histograma

Con la masas calculadas en el inciso anterior, elabore un histograma de frecuencias. Es importante notar que debe definir clases (bins) para poder establecer las frecuencias. Poco más de 100 clases debe ser suficiente. Escribimos el programa 3 que se encuentra en el Apéndice A.1, donde conseguimos el histograma el cual es presentado mas adelante, en este se presenta la masa invariante de los decaimientos, así como también el numero de eventos que produjo una masa similar.

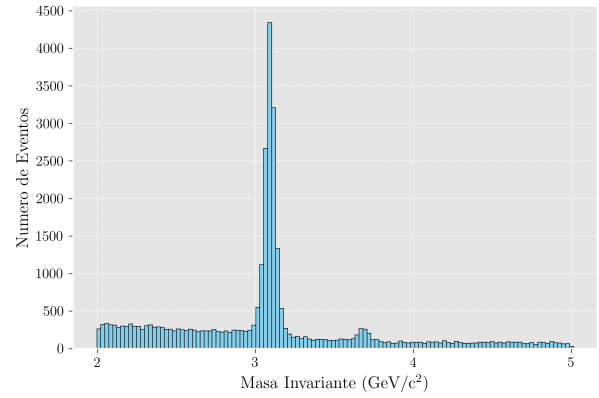


Figura 1: Histograma de masa de partículas decaídas en dimuones. Contruida a partir de los datos del archivo *JpsimumuRun2011A.csv*, podemos notar un gran pico cerca del centro y uno pequeño al costado derecho de este, de una altura similar a la constante de lado izquierdo del pico principal

1.3. Analizando datos

A partir del histograma de la figura 1, podemos notar que, aun que en apariencia constante, entre la masa de 2 y 3 GeV/c^2 hay algunas pequeñas fluctuaciones, este estado constate es igual o mayor a un pequeño pico que se encuentra alrededor del valor $3.7GeV/c^2$.

Entonces, consideraremos los picos previos a $3.7GeV/c^2$ y los demás los consideraremos como ruido. Para encontrar estos picos, y sus respectivas masas, haremos una modificación al *Codigo1*:

```

1
2 #---Encontrar picos de la grafica-----
3
4 max_masa_invariante = data['
5     masa_invariante'].max()
6 min_masa_invariante = data['
7     masa_invariante'].min()
8
9 # Histograma de las masas invariantes
10 counts, bin_edges = np.histogram(data['
11     masa_invariante'], bins=120, range=(
12     min_masa_invariante ,
13     max_masa_invariante))
14
15 # Encuentra la parte central "el valor que
16     supondremos " de cada "bin"
17 bin_centers = (bin_edges[:-1] + bin_edges
18     [1:]) / 2
19
20
21 #Creacion de curva simulada por cubic
22     Slines
23 cs=CubicSpline(bin_centers, counts)
24 N=10000
25 x_test=np.linspace(min_masa_invariante,
26     max_masa_invariante,N)
27 y_test=cs(x_test)
28
29 #Ahora queremos escoger como altura minima
30     para los picos , el pico mas pequeno
31     previo a el pico maximo de todo el
32     histograma
33
34 # Encontrar los indices de los picos
35 indices_picos = find_peaks(y_test, height
36     =0)[0] #La funcion de pandas ,
37     find_peaks, encuentra automaticamente
38     los picos
39 print(indices_picos)
40
41 # Encontrar el indice del bin con el
42     maximo numero de repeticiones
43 indice_bin_max_repeticiones = np.argmax(
44     y_test)
45 print(indice_bin_max_repeticiones ,y_test[
46     indice_bin_max_repeticiones],x_test[
47     indice_bin_max_repeticiones])
48
49 # Filtrar los picos previos al bin con el
50     maximo numero de repeticiones
51 indices_picos_previos = indices_picos[
52     indices_picos <
53     indice_bin_max_repeticiones]
54
55 # Encontrar el valor minimo de
56     repeticiones entre los picos previos
57 valor_min_repeticiones_previos = np.min(
58     y_test[indices_picos_previos])

```

```

34
35
36 # Detectar picos
37 peaks, _ = find_peaks(y_test, height=
38     valor_min_repeticiones_previos)

```

Código 1: Fragmento de programa que encuentra los picos con mayor frecuencia en el histograma del primer programa . NOMBRE : "6.1.2 Masa.py"

De esta forma , conseguimos el nuevo histograma de la figura 2, así como el cuadro 1, donde en función de la masa, y de los datos del Particle Data Group, podemos encontrar que algunas de los picos de masas encontradas corresponden con algunas partículas, con un cierto error relativo.

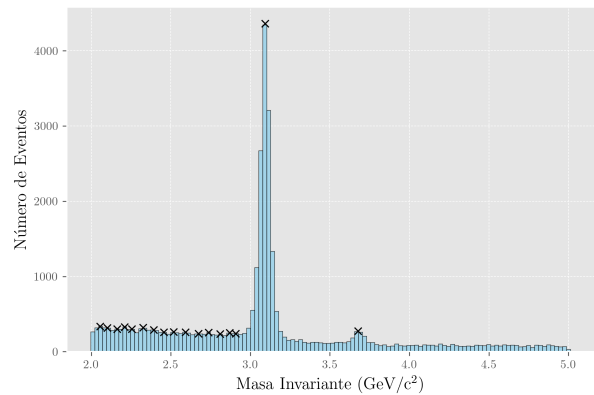


Figura 2: Histograma de masa de partículas decaídas en dimuones con picos marcados.

Cabe recalcar que hasta este punto , unicamente se pidió que se comparara la masa de los posibles picos con la de partículas de los datos del Particle Data Group, como se ve en el cuadro 1, sin embargo , los dos picos mas marcados , $J/\psi(3096)$ y $\psi(3686)$ son en realidad las únicas que presentan un decaimiento de partículas muón-anti-muón mediante los datos vistos en el Particle Data Group.

Unas excelentes preguntas entonces serian , ¿A que se debe exactamente el cambio de ruido de fondo? y ¿Como podemos considerar apropiadamente el ruido de fondo en este tipo de mediciones?

| Masa (GeV/c ²) | Posible partícula | Masa real (GeV/c ²) | E_r (%) |
|----------------------------|----------------------------------|---------------------------------|------------|
| 2.0549 | $f_4(2050)$ | 2.050 | 0.439 |
| 2.1002 | $D_s^+(2112)$ | 2.1122 | 0.57 |
| 2.1621 | $\phi(2170)$ | 2.17 | 0.3641 |
| 2.2094 | $\Lambda_c^+(2286)$ | 2.28646 | 3.36 |
| 2.2544 | $\Lambda_c^+(2286)$ | 2.28646 | 1.436 |
| 2.3251 | $D_{s0}^*(2317)$ | 2.317 | 0.3496 |
| 2.3921 | $\Xi_c^+(2467)$ | 2.46787 | 3.07 |
| 2.4560 | $\Sigma_c^0(2455)/\Xi_c^+(2467)$ | 2.45402/2.46787 | 0.08/ 0.48 |
| 2.5182 | $D_{s1}(2536)$ | 2.536 | 0.7019 |
| 2.5922 | $D_{s1}(2573)$ | 2.573 | 0.7462 |
| 2.6743 | $\Omega_c^0(2695)$ | 2.6952 | 0.78 |
| 2.7377 | $D_{s1}^*(2700)$ | 2.7 | 1.396 |
| 2.8098 | $D_{s3}^*(2860)$ | 2.86 | 1.755 |
| 2.8699 | $D_{s3}^*(2860)$ | 2.86 | 0.346 |
| 2.9067 | $\eta_c(2984)$ | 2.9841 | 2.594 |
| 3.0923 | $J/\psi(3096)$ | 3.0969 | 0.15 |
| 3.6773 | $\psi(3686)$ | 3.68609 | 0.24 |

Cuadro 1: Posibles partículas correspondientes a las masas medidas, sus masas conocidas y el error relativo.

2. Estimando la masa del Z en el LHC

El objetivo de este ejercicio es estimar la masa del bosón Z a partir de su decaimiento en dos muones. Los datos son reales tomados del CMS (*CompactMuonSolenoid*) que han sido adquiridos, analizados filtrados e identificados como colisiones en el LHC (*LargeHadronCollider*) y que presentan dos muones.

Se conoce que los bosones Z pueden decaer en dos muones. Cuando se analizan desde la perspectiva de colisiones relativistas los datos de los dos muones, es posible encontrar las masas de las partículas de las cuales provienen.

En el archivo adjunto *MuRun2018B.csv* se presentan los datos de 100 000 colisiones. Antes de poderse utilizar, los datos pasan un proceso detallado de selección y calibración para determinar, en este caso, que se produjeron dos muones (ver <http://opendata.cern.ch/record/1000> para mayor información). Las columnas en la tabla tienen el mismo significado y simbología que las vistas en

la sección 1.

2.1. Masa de Z e Histograma de frecuencia

Para cada colisión, calcule la masa del bosón Z utilizando sus conocimientos de Dinámica relativista. Considere unidades con $c = 1$ para simplificar los cálculos, estos, son exactamente equivalentes a el proceso que encontramos hasta la ecuación (5) de la sección pasada y que se ejecutó en el código 3.

Podemos entonces, con los datos de la masa, crear un histograma, donde se establece que se requieren poco más de 100 bins o clases para establecer frecuencias.

Para esto se puede emplear el código 1, igual a como está, salvo por la modificación de la base de datos, esto nos da como resultado el histograma de la figura 3.

Ahora, añadido a esto, podemos crear una modificación al código 1, en la cual el histograma ahora tenga en el eje y al logaritmo de la frecuencia y

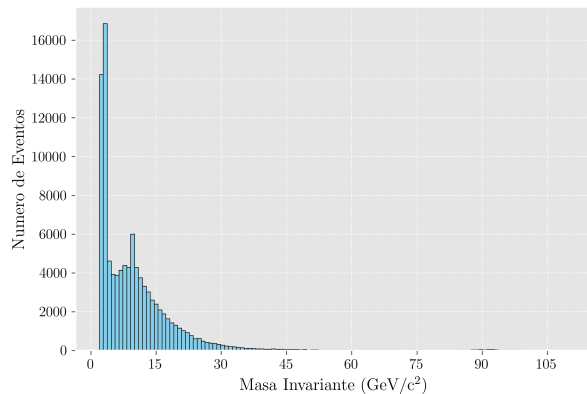


Figura 3: Histograma de masa de partículas Z decaídas en di muones .

no solo el la frecuencia:

```

1 #-----Histograma logaritmico -----
2
3 max_masa_invariante = data['
4     masa_invariante'].max()
5 min_masa_invariante = data['
6     masa_invariante'].min()
7
8 print(max_masa_invariante)
9
10 # Histograma de las masas invariantes
11 counts, bin_edges = np.histogram(data['
12     masa_invariante'], bins=120, range=(
13     min_masa_invariante ,
14     max_masa_invariante))
15
16 # Encuentra la parte central "el valor que
17     supondremos " de cada "bin"
18 bin_centers = (bin_edges[:-1] + bin_edges
19     [1:]) / 2
20
21 # Graficar el histograma y los picos
22     detectados
23 plt.figure(figsize=(7, 5), dpi=300)
24
25 plt.bar(bin_centers, np.log(counts), color
26     ='blue')
27
28 # Anadir etiquetas y titulo en formato
29     LaTeX
30 plt.xlabel(r'Masa Invariante (GeV/c$^2$)',
31     fontsize=14, color='black')
32 plt.ylabel(r'Logaritmo de Numero de
33     Eventos', fontsize=14, color='black')
34 plt.title(r'
35     ', fontsize=16, color='black')

```

```

22
23 # Anadir una cuadrícula
24 plt.grid(True, which='both', linestyle='--
25     ', linewidth=0.5)
26
27 # Ajustar márgenes
28 plt.tight_layout()
29
30 # Guardar la figura en formato PNG con
31     alta calidad
32 plt.savefig('
33     masa_invariante_dimuones_peaks.png',
34     format='png', dpi=300)
35
36 # Mostrar la figura

```

Código 2: Fragmento de programa que nos arroja el histograma de la masa de partículas Z , con el eje y representando el logaritmo de la frecuencia . NOMBRE : "6.1.3 Masa.py"

esto nos da como resultado el histograma de la figura 4.

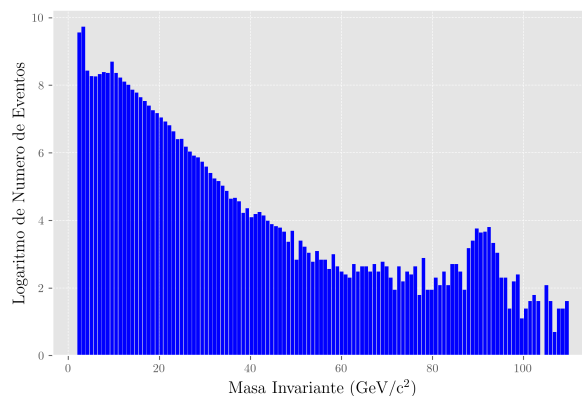


Figura 4: Histograma de masa de partículas Z decaídas en di muones . Este tiene la frecuencia logarítmica en comparación con la figura 3

2.2. Análisis de datos

Notemos entonces que en general , el Histograma de la figura 3 , no es mas que una versión extendida en masa y en numero de datos y por lo tanto de eventos , del historial de la figura 1. Esto explica el por que hay una gran cantidad de

eventos con masas que ya habíamos visto que producían pares muón - anti muón.

Ahora, en el momento en el que utilizamos el logaritmo de las frecuencias , lo que hacemos realmente es de cierta forma, amplificar las protuberancias relevantes , y a la vez , disminuir las protuberancias insignificantes así como acortar los puntos con gran cantidad de frecuencia.

El hecho de que en la figura 4 , tengamos una protuberancia alrededor de la masa $92 \text{ GeV}/c^2$, nos dice que alrededor del punto hay una partícula que decae en un par muon - anti muón.

Esta no es nada mas ni nada menos que el bosón Z , cuya masa es realmente $91.1876 \text{ GeV}/c^2$.

Por otro lado , aun que la pagina Particle Data Group apunta a que en el rango de masas que manejaamos , el bosón W ,con masa $80.3692 \text{ GeV}/c^2$, en realidad no podria decir que hay algo contundente cercano a esa area, es mas , hasta diria que hay algo de ruido .

Podria decirse que hay algunas protuberancias entre 60 y $70 \text{ GeV}/c^2$, así como entre 80 y $87 \text{ GeV}/c^2$, pero esto mantiene la duda, ¿Como distinguimos entre ruido de fondo y datos que realmente nos hablan de rango de masas de una partícula en decaimiento?

Apéndice

A. Código en Python

A.1. Rocket

```
1 import pandas as pd #Biblioteca que se
   enfoca en la manipulacion de datos ,
   principalmente los estructurados .
2 import numpy as np
3
4 # Cargar los datos
5 data = pd.read_csv('Jpsimumu_Run2011A.csv')
   #comando con el cual cargamos los
   datos desde el archivo csv
6
7 # Definir una funcion para calcular la
   masa invariante
8 def calcular_masa_invariante(row):
9     # Energias de los muones
10    E1 = row['E1']
```

```
11    E2 = row['E2']
12
13    # Componentes del momento de los
   muones
14    px1 = row['px1']
15    py1 = row['py1']
16    pz1 = row['pz1']
17    px2 = row['px2']
18    py2 = row['py2']
19    pz2 = row['pz2']
20
21    # Energia total del sistema
22    E_total = E1 + E2
23
24    # Componentes del momento total del
   sistema
25    px_total = px1 + px2
26    py_total = py1 + py2
27    pz_total = pz1 + pz2
28
29    # Cuadrado del momento total
30    p_total_squared = px_total**2 +
   py_total**2 + pz_total**2
31
32    # Masa invariante del sistema
33    masa_invariante = np.sqrt(E_total**2 -
   p_total_squared)
34    return masa_invariante
35
36 # Aplicar la funcion a cada fila del
   DataFrame
37 data['masa_invariante'] = data.apply(
   calcular_masa_invariante, axis=1) #
   Anade una nueva columna al DataFrame
   ||= Aplica una funcion a cada fila
   del DataFrame.
38
39 # Encontrar el valor maximo y el minimo
   de las masas invariantes.
40 max_masa_invariante = data['
   masa_invariante'].max()
41 min_masa_invariante = data['
   masa_invariante'].min()
42
43
44 print(data.head()) # Mostrar las primeras
   filas con la masa invariante
   calculada
45
46
47 #-----Graficacion -----
48
49 import matplotlib.pyplot as plt
50 import matplotlib.ticker as ticker
51
52 # Listar estilos disponibles
53 print(plt.style.available)
```

```

54
55 # Usar un estilo disponible
56 plt.style.use('ggplot')
57
58 # Configurar matplotlib para usar LaTeX
59 plt.rcParams['text.usetex'] = True
60 plt.rcParams['font.family'] = 'serif'
61 plt.rcParams['font.serif'] = ['Computer
    Modern Roman']
62
63 # Crear la figura y el eje
64 fig, ax = plt.subplots(figsize=(7, 5), dpi
    =300) # Tamano de la figura y calidad
65
66 # Histograma de las masas invariantes
67 ax.hist(data['masa_invariante'], bins=120,
    range=(min_masa_invariante,
    max_masa_invariante), color='skyblue',
    edgecolor='black')
68
69 # Anadir etiquetas y titulo en negro
    intenso
70 ax.set_xlabel(r'Masa Invariante (GeV/c2$
    )', fontsize=14, color='black')
71 ax.set_ylabel(r'Numero de Eventos',
    fontsize=14, color='black')
72 ax.set_title(r'
    ', fontsize=16, color='black')
73
74 # Configurar las etiquetas de los ejes
75 ax.xaxis.set_major_locator(ticker.
    MaxNLocator(integer=True))
76 ax.yaxis.set_major_locator(ticker.
    MaxNLocator(integer=True))
77
78 # Anadir una cuadrícula
79 ax.grid(True, which='both', linestyle='--',
    , linewidth=0.5)
80
81 # Ajustar las etiquetas de los ejes en
    negro intenso
82 plt.xticks(fontsize=12, color='black')
83 plt.yticks(fontsize=12, color='black')
84
85 # Ajustar margenes
86 plt.tight_layout()
87
88 # Guardar la figura en formato PNG con
    alta calidad
89 plt.savefig('masa_invariante_dimuones.png',
    , format='png', dpi=300)
90
91 # Mostrar la figura

```

```

92 plt.show()

```

Código 3: Programa que encuentra el histograma de frecuencias de masas de partículas decaídas a partir de las energías y momentos de di-muones . NOMBRE : "6.1.1 Masa.py"